

УДК 539.196.3

СТАТИСТИЧЕСКОЕ ОПИСАНИЕ СОЛЬВАТОФЛУОРОХРОМИИ  
МНОГОКОМПОНЕНТНЫХ РАСТВОРОВ  
С УЧЕТОМ УНИВЕРСАЛЬНЫХ И СПЕЦИФИЧЕСКИХ  
МЕЖМОЛЕКУЛЯРНЫХ ВЗАЙМОДЕЙСТВИЙ

А. Н. Перов

В приближении аддитивности межмолекулярных потенциалов универсальной и специфической природы описываются эффекты сольватофлуорочромии многокомпонентных растворов. Полученные выражения позволяют уточнить величину энергии водородной связи в комбинирующих электронных состояниях. Даны оценки величины энергии водородной связи в электронно-возбужденном состоянии комплекса 3-амино-N-метилфталимид+пиридин, составляющей около 5 ккал./моль.

Различные аспекты проблемы спектроскопического проявления совместного действия универсальных и специфических межмолекулярных сил в конденсированных системах рассмотрены в большом числе работ [1-9]. При этом рядом авторов уделялось большое внимание принципиальному вопросу достаточно корректного разделения вкладов универсальных и специфических межмолекулярных взаимодействий (УММВ и СММВ) в наблюдаемые эффекты, в частности в сдвиг электронных спектров поглощения и излучения молекул при переходе «пар—раствор». При постановке этого вопроса сам факт существования ММВ различной силы в ансамбле частиц наводит на мысль о необходимости введения в рассмотрение статистического распределения элементов ансамбля (сольватов) по различным степеням свободы. Подчеркнем, что теория сольватофлуорочромии, объединяющая спектроскопические и статистические концепции, позволяет более точно определить различные характеристики поглащающих и излучающих центров в комбинирующих состояниях, что весьма существенно, так как до настоящего времени данные по электронным спектрам являются по существу единственным источником подобной информации для возбужденных состояний [3, 4]. В то же время эта информация необходима для решения различных вопросов фотохимической кинетики, биологии и т. д.

Системы, на примере которых обычно изучают совместное влияние УММВ и СММВ на оптические характеристики молекул, представляют собой разбавленные растворы исследуемого вещества (*U*) в инертном растворителе (*n*) с различными добавками активного растворителя (*p*), склонного к комплексообразованию с молекулой *u* [например, за счет образования водородной связи (BC)]. Количественное описание сольватофлуорочромии подобных многокомпонентных растворов проводилось в [10-12]. Однако для систем, рассмотренных в [10-12], характерна преобладающая роль УММВ; кроме того, как уже отмечалось [13], применение аппарата [4], оперирующего с обобщенными характеристиками среды — локальной диэлектрической постоянной и показателем преломления — в известной мере затрудняет использование статистических представлений. В этом смысле определенными возможностями для описания указанного круга вопросов располагает модель, предложенная в [14] и раз-

витая в [15, 16] (фактически она является одним из вариантов модели «твердых сфер» [17]). В [14, 15] раствор рассматривается как система сферических молекул, взаимодействия между которыми описываются известными парными вандерваальсовскими потенциалами [18] в предположении их аддитивности. Имея в виду использовать в данной работе аппарат [15, 16] для описания систем, в которых достаточно ярко выражены как УММВ, так и СММВ, мы введем в гамильтониан, характеризующий межмолекулярные взаимодействия в сольвате, помимо вандерваальсовских потенциалов, член, связанный с СММВ типа ВС молекулы  $u$  с молекулой активной добавки  $p$ .

Таким образом, в приближении аддитивности указанных потенциалов гамильтониан системы (сольвата), включающей комплекс состава  $1:1$  молекулы  $u$  с молекулой  $p$ ,<sup>1</sup> а также «свободные» молекулы  $p$  и  $n$  при некоторой фиксированной конфигурации, имеет для определенного электронного состояния (например, возбужденного  $e$ ) следующий вид:

$$H_e = W_e + \sum_{\sigma=1}^{S_p} \varepsilon_{be}^{\sigma c} + \sum_{d=1}^{S_n} \varepsilon_{be}^{nd} + E. \quad (1)$$

Здесь  $W_e$  отвечает энергии ВС молекул  $u$  и  $p$ ,  $\varepsilon_{be}^{pc}$ ,  $\varepsilon_{be}^{nd}$  — парной энергии УММВ комплекса с одной из  $S_p$  или  $S_n$  «свободных» молекул  $p$  или  $n$  соответственно. Член  $E$  характеризует суммарную энергию УММВ молекул растворителя между собой. Учитывая отмеченное рядом авторов [12] обстоятельство, заключающееся в том, что для большинства используемых на практике растворителей энергии парного взаимодействия их молекул для пар  $n-n$  и  $n-p$  различаются между собой незначительно, примем  $E = \text{const}$  для любого соотношения  $S_p$  и  $S_n$  в сольвате и в дальнейшем опустим этот член, выбрав соответствующее начало отсчета в шкале энергий.

Явный вид потенциалов  $\varepsilon_{be}^{pc}$  и  $\varepsilon_{be}^{nd}$  можно выписать, используя [18, 16]. Считаем при этом, что активный растворитель принадлежит к классу полярных, а инертный — к классу неполярных. Тогда  $\varepsilon_{be}^{pc}$ , например, имеет вид

$$\begin{aligned} \varepsilon_{be}^{pc} = & \varepsilon_{be}^{pc}(\text{or}) + \varepsilon_{be}^{pc}(\text{ind}) + \varepsilon_{be}^{pc}(\text{disp}) \simeq - \frac{1.38 \mu_{be} \mu_p \cos \theta}{R_c^3} - \\ & - \frac{1}{R_c^6} (\mu_{be}^2 \alpha_p + \mu_p^2 \alpha_{be}) - \frac{1}{R_c^6} \frac{3}{2} \frac{I_{be} I_p}{I_{be} + I_p} \alpha_{be} \alpha_p. \end{aligned} \quad (2)$$

Здесь  $\mu_{be}$ ,  $\alpha_{be}$ ,  $I_{be}$  и  $\mu_p$ ,  $I_p$  — дипольный момент, поляризуемость и потенциал ионизации комплекса и «свободной» молекулы  $p$  соответственно,  $R_c$  — расстояние между ними,  $\theta$  — угол между вектором  $\mu_p$  и вектором напряженности электрического поля  $\mathcal{E}_{be}$  [16], создаваемого диполем  $\mu_{be}$  в месте нахождения  $p$ .<sup>2</sup>

Рассчитывая известным образом [19] величину средней по ансамблю энергии стабилизации сольвата в равновесном состоянии —  $\langle E_e \rangle$ , предполагаем, что «свободные» молекулы  $p$  и  $n$  распределены вокруг сольватированного комплекса по ячейкам концентрических координационных сфер.<sup>3</sup> Учтем также вероятность присутствия в растворе сольватированных молекул  $u$ , не связанных в комплекс и взаимодействующих с растворителем через посредство только УММВ.

<sup>1</sup> Рассмотрение для комплексов состава  $1:m$  при  $m > 1$  аналогично проводимому ниже и затруднено лишь громоздкостью получаемых выражений.

<sup>2</sup> Необходимый для определения  $R_c$  по методу [14] средний радиус «сферического» комплекса приближенно определялся в предположении аддитивности объемов водородно-связанных молекул  $u$  и  $p$ .

<sup>3</sup> При расчетах химический потенциал компонент растворителя принимался равным  $kT \ln x_i$ , где  $x_i$  — средняя мольная концентрация соответствующей компоненты [11].

$\langle E_e \rangle =$

Тогда

$$\begin{aligned}
 &= Z_e^{-1} \left\{ \left[ W_e + \sum_{j=1}^t \frac{\langle \varepsilon_{be}^{pj} \rangle \gamma_{be}^{pj} \exp \left\{ -\frac{\varepsilon_{be(ind)}^{pj} + \varepsilon_{be(disp)}^{pj}}{kT} \right\} x_p + \varepsilon_{be}^{nj} \exp \left\{ -\frac{\varepsilon_{be}^{nj}}{kT} \right\} x_n}{\gamma_{be}^{pj} \exp \left\{ -\frac{\varepsilon_{be(ind)}^{pj} + \varepsilon_{be(disp)}^{pj}}{kT} \right\} x_p + \exp \left\{ -\frac{\varepsilon_{be}^{nj}}{kT} \right\} x_n} N_{bj} \right] \times \right. \\
 &\quad \times \exp \left\{ -\frac{W_e}{kT} \right\} x_p \prod_{j=1}^t \left( \gamma_{be}^{pj} \exp \left\{ -\frac{\varepsilon_{be(ind)}^{pj} + \varepsilon_{be(disp)}^{pj}}{kT} \right\} x_p + \exp \left\{ -\frac{\varepsilon_{be}^{nj}}{kT} \right\} x_n \right)^{N_{bj}} + \\
 &\quad + \left[ \sum_{j=1}^t \frac{\langle \varepsilon_{ue}^{pj} \rangle \gamma_{ue}^{pj} \exp \left\{ -\frac{\varepsilon_{ue(ind)}^{pj} + \varepsilon_{ue(disp)}^{pj}}{kT} \right\} x_p + \varepsilon_{ue}^{nj} \exp \left\{ -\frac{\varepsilon_{ue}^{nj}}{kT} \right\} x_n}{\gamma_{ue}^{pj} \exp \left\{ -\frac{\varepsilon_{ue(ind)}^{pj} + \varepsilon_{ue(disp)}^{pj}}{kT} \right\} x_p + \exp \left\{ -\frac{\varepsilon_{ue}^{nj}}{kT} \right\} x_n} N_{uj} \times \right. \\
 &\quad \left. \left. \times \prod_{j=1}^t \left( \gamma_{ue}^{pj} \exp \left\{ -\frac{\varepsilon_{ue(ind)}^{pj} + \varepsilon_{ue(disp)}^{pj}}{kT} \right\} x_p + \exp \left\{ -\frac{\varepsilon_{ue}^{nj}}{kT} \right\} \right)^{N_{uj}} \right] \right\}. \quad (3)
 \end{aligned}$$

Входящая в (3)  $Z_e$  — статистическая сумма ансамбля в равновесном состоянии  $e$  — имеет вид

$$\begin{aligned}
 Z_e &= \exp \left\{ -\frac{W_e}{kT} \right\} x_p \prod_{j=1}^t \left( \gamma_{be}^{pj} \exp \left\{ -\frac{\varepsilon_{be(ind)}^{pj} + \varepsilon_{be(disp)}^{pj}}{kT} \right\} x_p + \exp \left\{ -\frac{\varepsilon_{be}^{nj}}{kT} \right\} x_n \right)^{N_{bj}} + \\
 &\quad + \prod_{j=1}^t \left( \gamma_{ue}^{pj} \exp \left\{ -\frac{\varepsilon_{ue(ind)}^{pj} + \varepsilon_{ue(disp)}^{pj}}{kT} \right\} x_p + \exp \left\{ -\frac{\varepsilon_{ue}^{nj}}{kT} \right\} x_n \right)^{N_{uj}}. \quad (4)
 \end{aligned}$$

Напомним, что индекс  $b$  сопоставляется комплексу, а  $u$  — «свободной» сольватированной молекуле исследуемого вещества. Величины  $\langle \varepsilon_{be}^{pj} \rangle$  и  $\langle \varepsilon_{ue}^{pj} \rangle$  в отличие от выражений типа (2) представляют собой энергию парных УММВ, статистически усредненную по всем возможным взаимным ориентациям  $\mu_p$  и  $\mathcal{E}_{be}$  (или  $\mathcal{E}_{ue}$ ). Считая поляризуемости  $\alpha_{be}$ ,  $\alpha_{ue}$  и  $\alpha_p$  приблизительно изотропными, имеем для  $\langle \varepsilon_{be}^{pj} \rangle$  (для  $\langle \varepsilon_{ue}^{pj} \rangle$  аналогично) [16]

$$\langle \varepsilon_{be}^{pj} \rangle \simeq -\frac{1.38 \mu_{be} \mu_p}{R_j^3} L \left( \frac{1.38 \mu_{be} \mu_p}{R_j^3 kT} \right) + \varepsilon_{be(ind)}^{pj} + \varepsilon_{be(disp)}^{pj}. \quad (5)$$

где  $L(x) = \operatorname{cth} x - (1/x)$  — функция Ланжевена.

Входящие в (3) и (4) функции  $\gamma$  связаны с ориентационной составляющей полной термодинамической вероятности состояния сольвата<sup>4</sup> и имеют вид

$$\gamma_{be}^{pj} = \frac{kT R_j^3}{1.38 \mu_{be} \mu_p} \operatorname{sh} \frac{1.38 \mu_{be} \mu_p}{R_j^3 kT}. \quad (6)$$

Кроме того,  $x_p$  и  $x_n$  — мольные концентрации компонент растворителя,  $N_j$  — координационное число в  $j$ -й координационной сфере, при расчете которого по методу [14] использовалось статистически усредненное значение радиуса молекулы растворителя, входящей в  $j$ -ю сферу.

Следуя установившейся логике описания сольватофлуорохромных эффектов, мы должны также выписать выражение для  $\langle E_{e-g} \rangle_{FC}$  — средней энергии стабилизации сольвата в неравновесном франк-кондоновском (FC) основном состоянии  $g$ , комбинирующем в излучательном электронном переходе с равновесным состоянием  $e$ . Проводя усреднение энергии

<sup>4</sup> При вычислении полной термодинамической вероятности сольвата в состоянии  $e$  предполагалось, что молекула  $p$ , связанная в комплекс с  $u$ , жестко фиксирована относительно нее, т. е. термодинамическая вероятность конфигурации собственно комплекса равна единице.

стабилизации сольватата по неравновесному FC ансамблю с использованием представлений [15, 16, 20], т. е. учитывая, что ориентационно-концентрационное распределение в сольватных оболочках в FC состоянии  $g$  повторяет таковое в исходном равновесном состоянии  $e$ , получаем

$$\begin{aligned} & \langle E_{e-g} \rangle_{\text{FC}} = \\ & = Z_e^{-1} \left[ \left[ W_{e-g \text{ FC}} + \sum_{j=1}^t \frac{\langle \varepsilon_{be}^{pj} \rangle_{\text{FC}} \gamma_{be}^{pj} \exp \left\{ -\frac{\varepsilon_{be(ind)}^{pj} + \varepsilon_{be(disp)}^{pj}}{kT} \right\} x_p + \varepsilon_{bg}^{nj} \exp \left\{ -\frac{\varepsilon_{bg}^{nj}}{kT} \right\} x_n}{\gamma_{be}^{pj} \exp \left\{ -\frac{\varepsilon_{be(ind)}^{pj} + \varepsilon_{be(disp)}^{pj}}{kT} \right\} x_p + \exp \left\{ -\frac{\varepsilon_{bg}^{nj}}{kT} \right\} x_n} N_{bj} \right] \times \right. \\ & \quad \times \exp \left\{ -\frac{W_e}{kT} \right\} x_p \prod_{j=1}^t \left( \gamma_{be}^{pj} \exp \left\{ -\frac{\varepsilon_{be(ind)}^{pj} + \varepsilon_{be(disp)}^{pj}}{kT} \right\} x_p + \exp \left\{ -\frac{\varepsilon_{bg}^{nj}}{kT} \right\} x_n \right)^{N_{bj}} + \\ & \quad + \left[ \sum_{j=1}^t \frac{\langle \varepsilon_{ue}^{pj} \rangle_{\text{FC}} \gamma_{ue}^{pj} \exp \left\{ -\frac{\varepsilon_{ue(ind)}^{pj} + \varepsilon_{ue(disp)}^{pj}}{kT} \right\} x_p + \varepsilon_{ug}^{nj} \exp \left\{ -\frac{\varepsilon_{ug}^{nj}}{kT} \right\} x_n}{\gamma_{ue}^{pj} \exp \left\{ -\frac{\varepsilon_{ue(ind)}^{pj} + \varepsilon_{ue(disp)}^{pj}}{kT} \right\} x_p + \exp \left\{ -\frac{\varepsilon_{ug}^{nj}}{kT} \right\} x_n} N_{uj} \right] \times \\ & \quad \times \left. \prod_{j=1}^t \left( \gamma_{ue}^{pj} \exp \left\{ -\frac{\varepsilon_{ue(ind)}^{pj} + \varepsilon_{ue(disp)}^{pj}}{kT} \right\} x_p + \exp \left\{ -\frac{\varepsilon_{ug}^{nj}}{kT} \right\} x_n \right)^{N_{uj}} \right]. \end{aligned} \quad (7)$$

Здесь  $W_{e-g \text{ FC}}$  — энергия ВС в основном FC состоянии, а величины типа  $\langle \varepsilon_{be-g} \rangle_{\text{FC}}$  — средней энергии парного взаимодействия комплекса с молекулой  $p$  — в FC сольвате имеют вид [15, 16, 20]

$$\langle \varepsilon_{be-g}^{pj} \rangle_{\text{FC}} = -\frac{1.38 \mu_{bg} \mu_p \cos \varphi}{R_j^3} L \left( \frac{1.38 \mu_{be} \mu_p}{R_j^3 kT} \right) + \varepsilon_{bg(ind)}^{pj} + \varepsilon_{bg(disp)}^{pj}, \quad (8)$$

где  $\varphi$  — угол между векторами  $\mu_{be}$  и  $\mu_{bg}$ .

Для того чтобы из (3), (7) получить выражение для наблюдаемой в спектроскопическом эксперименте величины  $\Delta\nu^f$  (сдвиг спектра излучения при переходе пар — раствор), примем во внимание тот факт, что вклады в смещение спектра сольватированных комплексов и «свободных» молекул и учитывают величины квантовых выходов этих двух типов оптических центров  $B_b$  и  $B_u$  соответственно. Поэтому для сдвига центра тяжести полосы излучения имеем ( $h$  — постоянная Планка,  $c$  — скорость света,  $\nu$  — частота в обратных сантиметрах).

$$\begin{aligned} hc\Delta\nu^f = & \langle E_e \rangle - \langle E_{e-g} \rangle_{\text{FC}} = (Z_e^f)^{-1} \left\{ \left[ W_e - W_{e-g \text{ FC}} + \right. \right. \\ & + \sum_{j=1}^t \frac{\left( \langle \varepsilon_{be}^{pj} \rangle - \langle \varepsilon_{be-g}^{pj} \rangle_{\text{FC}} \right) \gamma_{be}^{pj} \exp \left\{ -\frac{\varepsilon_{be(ind)}^{pj} + \varepsilon_{be(disp)}^{pj}}{kT} \right\} x_p + (\varepsilon_{be}^{nj} - \varepsilon_{bg}^{nj}) \exp \left\{ -\frac{\varepsilon_{bg}^{nj}}{kT} \right\} x_n}{\gamma_{be}^{pj} \exp \left\{ -\frac{\varepsilon_{be(ind)}^{pj} + \varepsilon_{be(disp)}^{pj}}{kT} \right\} x_p + \exp \left\{ -\frac{\varepsilon_{bg}^{nj}}{kT} \right\} x_n} N_{bj} \right] \times \\ & \times \exp \left\{ -\frac{W_e}{kT} \right\} x_p \prod_{j=1}^t \left( \gamma_{be}^{pj} \exp \left\{ -\frac{\varepsilon_{be(ind)}^{pj} + \varepsilon_{be(disp)}^{pj}}{kT} \right\} x_p + \exp \left\{ -\frac{\varepsilon_{bg}^{nj}}{kT} \right\} x_n \right)^{N_{bj}} B_b + \\ & + \sum_{j=1}^t \frac{\left( \langle \varepsilon_{ue}^{pj} \rangle - \langle \varepsilon_{ue-g}^{pj} \rangle_{\text{FC}} \right) \gamma_{ue}^{pj} \exp \left\{ -\frac{\varepsilon_{ue(ind)}^{pj} + \varepsilon_{ue(disp)}^{pj}}{kT} \right\} x_p + (\varepsilon_{ue}^{nj} - \varepsilon_{ug}^{nj}) \exp \left\{ -\frac{\varepsilon_{ug}^{nj}}{kT} \right\} x_n}{\gamma_{ue}^{pj} \exp \left\{ -\frac{\varepsilon_{ue(ind)}^{pj} + \varepsilon_{ue(disp)}^{pj}}{kT} \right\} x_p + \exp \left\{ -\frac{\varepsilon_{ug}^{nj}}{kT} \right\} x_n} N_{uj} \times \\ & \times \left. \prod_{j=1}^t \left( \gamma_{ue}^{pj} \exp \left\{ -\frac{\varepsilon_{ue(ind)}^{pj} + \varepsilon_{ue(disp)}^{pj}}{kT} \right\} x_p + \exp \left\{ -\frac{\varepsilon_{ug}^{nj}}{kT} \right\} x_n \right)^{N_{uj}} B_u \right\}, \end{aligned} \quad (9)$$

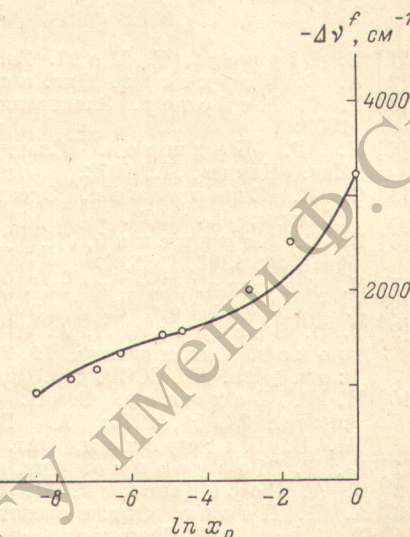
где

$$Z_e^f = \exp \left\{ -\frac{W_e}{kT} \right\} x_p \prod_{j=1}^t \left( \gamma_{be}^{pj} \exp \left\{ -\frac{\varepsilon_{be(ind)}^{pj} + \varepsilon_{be(disp)}^{pj}}{kT} \right\} x_p + \exp \left\{ -\frac{\varepsilon_{be}^{nj}}{kT} \right\} x_n \right)^{Nb_j} B_b + \\ + \prod_{j=1}^t \left( \gamma_{ue}^{pj} \exp \left\{ -\frac{\varepsilon_{ue(ind)}^{pj} + \varepsilon_{ue(disp)}^{pj}}{kT} \right\} x_p + \exp \left\{ -\frac{\varepsilon_{ue}^{nj}}{kT} \right\} x_n \right)^{Nu_j} B_u. \quad (10)$$

Переходя к обсуждению полученного выражения (9), отметим, что его основной смысл нам представляется в возможности независимого определения с его помощью характеристик ВС в системах, в которых достаточно явно выражены и УММВ, и СММВ. Используя (9) в сочетании с выражением для сдвига спектров поглощения (получаемым полностью аналогично вышеизложенному и описывающим характеристики равновесного основного и FC возбужденного состояний сольваты), можно вычислить энергию ВС как в равновесном, так и в FC состояниях *e* и *g*. Необходимые для этого значения  $\mu$  и  $\alpha$  свободных молекул и комплексов в комбинирующих состояниях можно получить по методу [4], изучая сольватофлуоресценцию этих объектов в ряду инертных растворителей [5]. При непосредственном вычислении  $W_{e(g)}$  и  $\Delta W_{eg(ge)} = W_{e(g)} - W_{eg(ge)FC}$  из данных по зависимости величины сдвига спектра от концентрации активной добавки  $x_p$  можно воспользоваться как методом наименьших квадратов, так и способом, аналогичным развитому в [21] и заключающимся в определении сдвига, обусловленного СММВ, как разности между сдвигом, наблюдаемым на опыте, и сдвигом, обусловленным УММВ (рассчитанным по методу [4]).

В качестве примера нами были обработаны данные [9] по зависимости положения спектров флуоресценции раствора 3-амино-N-метилфталимида (ЗАНМФ) от концентрации пиридина в смешанном растворителе гептан + + пиридин. Согласно [9], стехиометрическое отношение комплекса ЗАНМФ + пиридин принималось равным 1 : 1.<sup>5</sup> Кроме того, считая ВС не слишком сильной, приняли в первом приближении [5]:  $\mu_{be(g)} \simeq \mu_{ue(g)}$ ,  $\alpha_{be(g)} \simeq \alpha_{ue(g)}$  по данным [13, 22, 9],  $\mu_{ug} \simeq 2.7 D$ ,  $\mu_{ue} \simeq 8D$ ,  $\alpha_{ug} \simeq 18.2 \cdot 10^{-24} \text{ см}^3$ ,  $\alpha_{ue} \simeq 35 \cdot 10^{-24} \text{ см}^3$ ,  $B_u = 0.38$ ,  $B_b \simeq 0.78$ ). Расчеты с использованием (9) приводят к следующим значениям  $W_{be}$  и  $\Delta W_{eg}$ :  $W_{be} \simeq -5 \text{ ккал./моль}$ ,  $\Delta W_{eg} \simeq -3.1 \text{ ккал./моль} \simeq -1100 \text{ см}^{-1}$ . Заметим, кстати, что сдвиг спектра излучения исследуемого раствора, обусловленный УММВ, составляет  $\approx 2000 \text{ см}^{-1}$ .

Определенная таким образом величина  $W_e$  указывает на то, что ВС ЗАНМФ + пиридин в возбужденном состоянии является слабой (по классификации [23]). Соответствие рассчитанных с такими параметрами величин  $\Delta\nu^f(x_p)$  экспериментальным данным иллюстрируется рисунком (кривая — расчет, точки — опыт). Перегиб кривой отражает сравнительно



Зависимость сдвига спектра излучения раствора ЗАНМФ в смеси гептан + пиридин от логарифма мольной концентрации пиридина.

<sup>5</sup> Вопрос о стехиометрии комплекса не может быть с достаточной обоснованностью решен в рамках развивающихся представлений без привлечения дополнительных данных (ИК спектроскопических, флуориметрических, химических и т. д.).

быструю насыщенность ВС и дальнейшую, более медленную, замену «свободными» полярными молекулами неполярных в сольватной оболочке комплекса.

В заключение, заметим, что эффекты, связанные с существенно преобладающей ролью одной из молекул сольватной оболочки в общей картине сольватофлуоресценции явлений, в ряде случаев находят объяснение в терминах теории влияния УММВ на спектры растворенных молекул [24]. В связи с этим окончательное решение вопроса об относительной силе УММВ и СММВ требует дальнейшего исследования, в частности с привлечением данных по ИК спектроскопии исследуемых растворов.

Автор выражает благодарность Н. Г. Бахшиеву за руководство работой и ценные замечания и Т. В. Веселовой за полезное обсуждение.

### Литература

- [1] E. Lippert, F. Moll. Zs. Elektrochem., 58, 718, 1954.
- [2] А. С. Черкасов. Опт. и спектр., 12, 73, 1962.
- [3] Т. Г. Мейстер. Электронные спектры многоатомных молекул. Изд. ЛГУ, 1969.
- [4] Н. Г. Бахшиев. Спектроскопия межмолекулярных взаимодействий. Изд. «Наука», Л., 1972.
- [5] О. В. Свердлова. Электронные спектры в органической химии. Изд. «Химия», Л., 1973.
- [6] В. В. Зелинский, И. Е. Обыкновенная. Изв. АН СССР, сер. физ., 29, 1362, 1965.
- [7] N. Mataga, K. Ezumi, T. Okada. Molec. Phys., 10, 201, 1966.
- [8] J. Midwinter, P. Suppan. Spectrochim. Acta, A25, 953, 1969.
- [9] Т. В. Веселова, Л. А. Лимарева, А. С. Черкасов, В. И. Широков. Опт. и спектр., 19, 78, 1965; Т. В. Веселова, В. И. Широков. Изв. АН СССР, сер. физ., 36, 1024, 1972.
- [10] Н. Г. Бахшиев, В. П. Волков, А. В. Алтайская. Опт. и спектр., 28, 51, 1970; А. В. Алтайская, Н. Г. Бахшиев, И. В. Питерская. Опт. и спектр., 27, 1013, 1969.
- [11] Ю. Т. Мазуренко. Опт. и спектр., 33, 1060, 1972.
- [12] В. А. Городской, Н. Г. Бахшиев. Опт. и спектр., 31, 218, 1971.
- [13] А. Н. Перов. Опт. и спектр., 40, 1976.
- [14] Т. Абе. Bull. Chem. Soc. Japan, 38, 3114, 1965.
- [15] А. Н. Перов, Н. Г. Бахшиев. Опт. и спектр., 34, 902, 1973.
- [16] А. Н. Перов. Опт. и спектр., 40, 31, 1976.
- [17] Дж. Гиршфельдер, Ч. Кертисс, Р. Берд. Молекулярная теория газов и жидкостей. ИЛ, М., 1961.
- [18] Н. Маргенау. Rev. Mod. Phys., 11, 1, 1939.
- [19] Дж. Майер, М. Гепперт—Майер. Статистическая механика. ИЛ, М., 1952.
- [20] А. Н. Регов, Н. Г. Бахшиев. J. Lumines., 6, 362, 1973.
- [21] Т. Г. Мейстер. Опт. и спектр., 30, 220, 1971; Т. Г. Мейстер, Г. Я. Зеликина, В. П. Клиндухов. Опт. и спектр., 36, 668, 1974.
- [22] Н. Г. Бахшиев, М. И. Княжанский, В. И. Минкин, О. А. Осипов, Г. В. Сайдов. Усп. химии, 38, 1644, 1969.
- [23] Н. Д. Соколов. Сб. «Водородная связь», 9. Изд. «Наука», М., 1964.
- [24] Н. Г. Бахшиев, И. В. Питерская. Опт. и спектр., 40, 269, 1976.

Поступило в Редакцию 14 января 1975 г.